

金沢大学工学部

正員 西田 義親

同

正員 八木 則夫

同

学生員 ○稻寺 隆

1. はじめに

従来、降雨に伴なう斜面崩壊の問題について、実験的取り扱いがいくつかのところでなされている。本論文は雨水浸透に伴なう間げき水圧の発生と自重の増加、サクションの消失等を考慮した無限斜面の安定について、若干の計算を行なったものである。著者らは、既に、降雨が鉛直に浸透する際に発生する間げき水圧を表わす式を与えている。その時に用いた定数より $\frac{mSr}{100\text{kg}}$ で置きかえると次式のようになる。

$$\text{乾燥砂 空気圧を考慮する時 } H(x,y) = h_0 + X \left(1 - \frac{r_a}{x+a} \cdot \frac{y+h_0+h_{co}}{y} \right) \quad (1)$$

$$H_{ay} = H(y,y) + h_{co} \quad (2)$$

$$\text{無視する時 } H(x,y) = h_0 - (h_0 + h_{co}) \frac{x}{y} \quad (3)$$

$$\text{浸潤砂 空気圧を考慮する時 } H(x,y) = h_0 + X \left(1 - \frac{r_a}{x+a} \cdot \frac{y+h_0+h_{co}}{y} \frac{Sr-f(y)}{Sr} \right) \quad (4)$$

$$H_{ay} = H(y,y) + h_{co} \frac{Sr-f(y)}{Sr} \quad (5)$$

$$\text{無視する時 } H(x,y) = h_0 - (h_0 + h_{co}) \frac{Sr-f(y)}{Sr} \frac{x}{y} \quad (6)$$

ただし、 $H(x,y)$ ：進行浸潤線が地表から $y(\text{cm})$ の深さにある時の深さ $x(\text{cm})$ ($x \leq y$) の間げき水圧($\text{cm} \cdot \text{H}_2\text{O}$)

H_{ay} ：進行浸潤線下の間げき空気圧($\text{cm} \cdot \text{H}_2\text{O}$) h_0 ：貯留水位(cm) h_{co} ：乾燥砂の毛管力($\text{cm} \cdot \text{H}_2\text{O}$)

r_a ：地表面と進行浸潤線の間の砂の透気係数(cm^2/sec) S_r ：浸透後の飽和度(%) $f(y)$ ：浸透前の飽和度(%)

n ：間げき率(小数表示) α ：透水係数(cm^2/sec)

(1)(2)(4)(5)式は、雨水が不飽和浸透を行ない、空気が一様に交換される事を仮定し、重力、Hagen-Poiseuilleの流れで説明される抵抗力、空気による抵抗力、毛管力を考慮し、慣性力を無視することによって得られた式である。また、(3)(6)式は、空気による抵抗力を無視して得られる。

2. 地盤内間げき圧を考慮した無限斜面安定式

無限斜面において、上記の間げき水圧、自重の増加、サクションの消失を考慮すると、安定式は、浸潤砂の場合、次のようになる。雨水浸透前強度安全率は、 $F_{s0} = \frac{C' + (r_a X + S_r)}{r_a T \cos \beta \cdot \sin \phi}$ である。浸透後は、空気圧を考慮する時、浸潤線下部($X \leq y$)で、 $\sigma' = f(y)X + r_a h_0 - r_a H(x,y) \cos^2 \beta$, $T = (r_a X + r_a h_0) \cos \beta \cdot \sin \phi$, $S = C' + \sigma' \tan \phi'$ となることから、強度安全率は、 $F_s(x,y) = \frac{S}{T} = \frac{C' + f(y)X + r_a h_0 - r_a H(x,y)}{(r_a X + r_a h_0) \cos \beta \cdot \sin \phi}$ に(4)式を代入して、次式となる。

$$F_s(x,y) = \frac{C' + f(y)X + r_a h_0 - r_a H(x,y)}{(r_a X + r_a h_0) \cos \beta \cdot \sin \phi} \frac{Sr-f(y)}{Sr} \frac{1}{\cos^2 \beta \cdot \tan \phi'} \quad (7)$$

また、浸潤線下部($X \geq y$)では、 $\sigma' = f(y)Y + r_a (X-y) + r_a h_0 + S - f(y)H_{ay}$ $\cos \beta$, $T = f(y)Y + r_a (X-y) + r_a h_0 \cos \beta \cdot \sin \phi$ となることより強度安全率は、 $F_s(x,y) = \frac{C' + f(y)X + (r-a)y + S - f(y)H_{ay}}{f(y)X + (r-a)y + r_a h_0} \frac{\cos \beta \cdot \sin \phi}{\cos^2 \beta \cdot \tan \phi'}$ に、(5)式を代入して、次式となる。

$$F_s(x,y) = \frac{C' + f(y)X + (r-a)y + r_a h_0 + r_a h_{co} \frac{Sr-f(y)}{Sr}}{f(y)X + (r-a)y + r_a h_0} \frac{\cos \beta \cdot \tan \phi'}{\cos^2 \beta \cdot \sin \phi} \quad (8)$$

ただし、 $F_s(x,y)$ ：進行浸潤線が地表から深さ y の時の深さ x での強度率、 C' ：有効粘着力(kg/cm^2)、 ϕ' ：有効摩擦角、 r_a ：有効応力(kg/cm^2)、 T ：せん断応力(kg/cm^2)、 β ：斜面傾斜角、 $r_a h_0$ ：浸透前後の土の単位体積重量、 $r_a h_{co}$ ：水の単位体積重量、 S ：サクション(kg/cm^2)、砂たおいては、毛管力に等しいとした。

空気圧を無視する時も、同様にして、次式のようになる。

$$\text{上部 } F_s(x,y) = \frac{C' + f(y)X + r_a h_0 + r_a h_{co} \frac{Sr-f(y)}{Sr}}{(r_a X + r_a h_0) \cos \beta \cdot \sin \phi} \frac{1}{\cos \beta \cdot \tan \phi'} \quad (9)$$

$$\text{下部 } F_s(x,y) = \frac{C' + f(y)X + (r-a)y + r_a h_0 + S}{(r-a)y + r_a h_0} \frac{\cos \beta \cdot \tan \phi'}{\cos^2 \beta \cdot \sin \phi} \quad (10)$$

乾燥砂の場合、浸潤砂の式において、 S の項を除き $r_a h_{co} \frac{Sr-f(y)}{Sr}$ を $r_a h_{co}$ で置き換えたものが、その強度安全率の式となる。勿論、これらの式は、斜面においても、雨水は鉛直に浸透し、(1)～(6)式が成り立つという仮定に立つ。

3. 計算例

強度係数 C'_d 、地下水深さ(地下水深さは、基盤深さと同じにして)H、斜面傾斜角 β を変化させた8つの斜面について、時間と強度安全率の関係をはね返り(進行浸潤線が地下水面上に達した後の地下水面上昇量)過程を含めて計算した。そのための浸潤深さ s と時間 t (sec)との関係、はね返り速度等は以下のようない式及び仮定より求めた。

(1) 経過時間と浸透深さ(浸透速度)

$$\text{空気圧を考慮する時, 乾燥砂 } t = \frac{\gamma S_r}{100} \left(\frac{1}{k_a} + \frac{1}{k_s} \right) \left\{ \frac{y + h_0 + h_{co}}{h_0 + h_{co}} \log_e \frac{y + h_0 + h_{co}}{h_0 + h_{co}} \right\} \quad (11)$$

$$\text{浸潤砂 } \frac{ds}{dt} = \frac{100}{\gamma \{ S_r - f(y) \}} \frac{y + h_0 + h_{co}}{h_0 + h_{co}} \frac{s^2 - t^2}{S_r - f(y)} \quad (12)$$

空気圧を無視する時は、(1)(2)式において $k_a=0$ とする。これらの関係を(7)~(10)式に代入すると時間と安全率の関係を得る。

(2) はね返り速度。浸潤線が地下水面上に達した時の容積含水率 S_r はね返り終了時のそれを S_r' とすると次式となる。 $\Delta h = k_s / (S_r - S_r')$ また、(3)、透気係数は透水係数との比で空気の粘性係数と水の粘性係数との逆比に一致することから求めた。さらに、不飽和土の透水係数と透気係数は、それぞれブタゴフスキイ⁽⁴⁾とBuzek, E⁽⁵⁾の結果を用いた。(4) $G_s = 2700$ $c = 0.800$ $D_{10} = 0.1mm$ $k = 1.0 \times 10^{-2} cm/sec$ $h_0 = 5cm$ (5) 雨水浸透前後の飽和度 S_m, S_r 、乾燥砂 $S_m = 0\%$ $S_r = 70\%$ 浸潤砂 $S_m = f(y) = 20\%$ $S_r = 90\%$

これらの仮定及び計算式を用いて、斜面の安全率の低下を示したもののが右表である。1例として、Ⅲの斜面の浸潤砂の場合について、時間と安全率の関係をFig.1~2に示す。Fig.2は、空気圧を考慮して場合であるが、A点は、浸透前安全率を示し、A~Bは、浸透中の安全率の低下を示す。浸透中、強度安全率最小の面は、浸潤線深さと一致する。B点で浸潤線は、地下水面上に達し、安全率はC点まで低下し、C点からはね返りが始まる。空気圧がない場合(Fig.1)は、はね返りが始まるまで、安全率は、ほとんど低下しない。

4. むすび

計算結果から、以下のことが言える。

(1) 雨水浸透時の斜面安定を考える時は、自重の増加の他に、発生する間けき水圧とサクションの消失を考慮せねばならない。間けき水圧は、多くの値で大きく変わり、大きくなると、静水圧に

近くなり斜面は危険な状態になる。さらに、 β と γ の値は、浸透後の飽和度 S_r に依存するので、 S_r は降雨強度等から、適確に決定する必要がある。(2) 地盤内空気圧が発生しない時は、自重の増加による影響程度で最小安全率面も変化しない。(3) 地盤内空気圧が発生する時は、 C'_d が適当な値を持つ時には、最小安全面が、雨水浸透に伴ない変化し、進行浸潤線と一致することがある。

参考文献: (1) 斎藤上洋:人工降雨による新幹線盤上斜面の耐雨強度の検討、鉄道技術研究所資料No.125(1978) (2) 田中茂:雨水浸透に基く斜面崩壊の実験的研究(1)報、建設工学研究報告第6号(1964) (3) 西田,ハ木,ニ木,西川:雨水浸透による地盤間けき水圧について、昭和48年度中部支部研究発表会講演概要集 (4) 小橋,今井他:砂質土砂面の雨水浸透及び表層流動すべりについて、鉄道技術研究所報告No.337(1970) (5) Buzek:Untersuchung der Luftdurchlässigkeit von Kornklasten. Proc. 3rd Budapest on Soil Mech and Found. (1968) (6) 山崎不二夫:土壤物理、養賢堂(1971)

No.	斜面 傾斜角 β	地下水 深さ H	時間 t		安全率 S_r		空気圧無視 安全率 S_r'		空気圧有 安全率 S_r''	
			X	Y	X	Y	X	Y	X	Y
I	35°	700	① 92.5%	② 53.1%	① 94.3%	② 53.1%	① 93.8%	② 53.4%	① 90.6%	② 53.4%
II	35°	300	① 92.5%	② 53.1%	① 94.3%	② 53.1%	① 93.8%	② 53.4%	① 90.6%	② 53.4%
III	35°	250	① 92.5%	② 53.1%	① 94.3%	② 53.1%	① 93.8%	② 53.4%	① 90.6%	② 53.4%
IV	35°	200	① 92.5%	② 53.1%	① 94.3%	② 53.1%	① 93.8%	② 53.4%	① 90.6%	② 53.4%
V	35°	150	① 92.5%	② 53.1%	① 94.3%	② 53.1%	① 93.8%	② 53.4%	① 90.6%	② 53.4%
VI	35°	100	① 92.5%	② 53.1%	① 94.3%	② 53.1%	① 93.8%	② 53.4%	① 90.6%	② 53.4%
VII	35°	50	① 92.5%	② 53.1%	① 94.3%	② 53.1%	① 93.8%	② 53.4%	① 90.6%	② 53.4%
VIII	35°	0	① 92.5%	② 53.1%	① 94.3%	② 53.1%	① 93.8%	② 53.4%	① 90.6%	② 53.4%

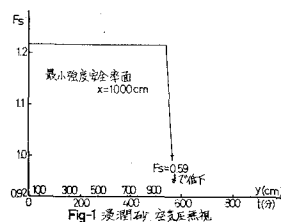


Fig. 1 浸透砂 安全率

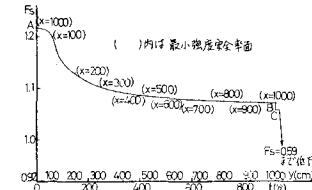


Fig. 2 浸透砂 安全率